

(1)

Laminations
par Adrien Boulanger.
le jeudi 28 janvier.

- I/ Introduction à l'espace de Teichmüller.

\tilde{S} = surface sans bord.

Déf: On appelle espace de Teichmüller noté $\mathcal{T}(S)$ l'espace des structures complexes / Diff₀.

Thm: Coordonnées isothermes - Gauss (Wittgenstein Paul St. Germain)

Structures complexes \leftrightarrow classes conformes de métriques.

$$g_1 \sim g_2 \Leftrightarrow g_2 = f g_1 \quad f > 0.$$

$$\Rightarrow \mathcal{T}(S) = \{ \text{classes conformes} \} / \text{Diff}_0(S)$$

Thm: (Uniformisation de Riemann)

S complète simpl. connexe $\Rightarrow \exists$ biholomorphisme $\phi: X \rightarrow A = \begin{cases} S^2 \\ \mathbb{C} \\ \hat{\mathbb{C}} \end{cases} / D$.

$$A = \begin{cases} \mathbb{H}^2 & \text{courbure} = -1. \\ \mathbb{C} & \text{courbure} = 0. \\ \hat{\mathbb{C}} & \text{courbure} = 1. \end{cases}$$

$$\Rightarrow S \text{ surface complexe}, \tilde{S} \xrightarrow{\tilde{\phi}} A$$

$$\mathcal{T}(S) = \{ \text{métriques hyperboliques} \} / \text{Diff}_0. \quad \text{pas pratique.}$$

$$\text{Thm: } \mathcal{T}(S) \simeq \{ f: \mathbb{H}^2 \rightarrow \text{Isom}^+(\mathbb{H}^2) \} / \text{conj.}$$

Idee: g métrique hyperbolique : on lui associe f . (c'est l'action du \mathbb{H}^2).

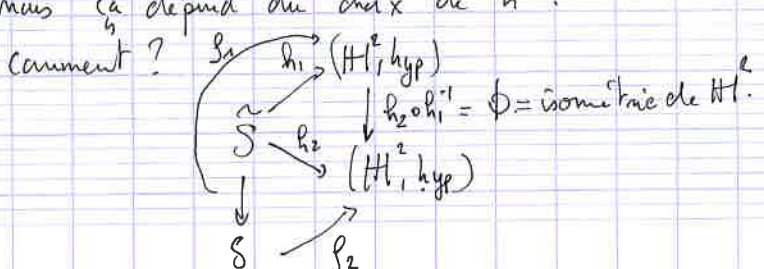
$$(\tilde{S}, \tilde{g}) \xrightarrow{h} (\mathbb{H}^2, \text{hyp})$$

$$f(g)(x) = h(f(x)) h^{-1}(x).$$

mais ça dépend du choix de h !

comment ?

$$(S, g)$$

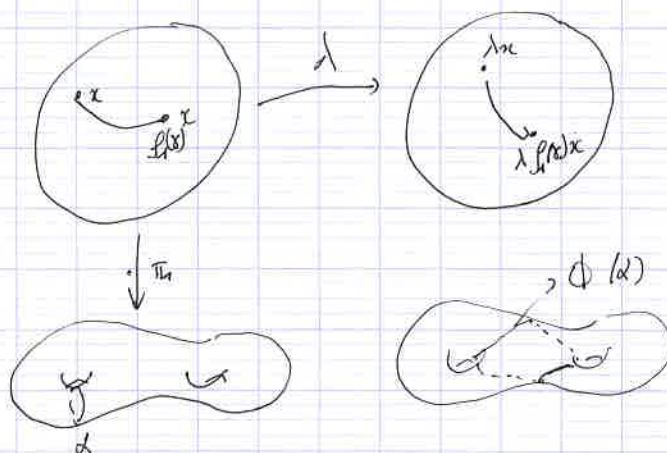


Prenons g_1 et g_2 sur S . t.q $\exists \phi \sim \text{id}$ $\phi^* g_2 = g_1$.

Prenons pour l'instant $\phi \notin \text{diff}(S)$. (pas forcément isotope à l'id).

$$\begin{array}{ccc} H & \xrightarrow{\lambda} & H \\ \beta_1 \uparrow & & \uparrow \beta_2 \\ \tilde{s}_1 & \xrightarrow{\tilde{\Phi}, \tilde{s}} & \downarrow \tilde{s}' \\ S & \xrightarrow{\phi} & S \end{array}$$

Donc, il faut faire encore mention de la bijectivité.



$$\lambda_* f_1 = f_0 \circ \phi_*.$$

Le cas du tore.

$$\mathcal{T}(T_2)$$

$$H_1(T_2) = a\mathbb{Z} \oplus b\mathbb{Z}.$$

Biholomorphisme du \mathbb{C} = $\{az + \beta\}$,
donc on doit réaliser a et b .

$$f(a) = az + \beta \quad \text{Nécessairement } a = 1.$$

Prenons $\mu \in \mathbb{C}$ $\phi_\mu z \mapsto \mu z$.

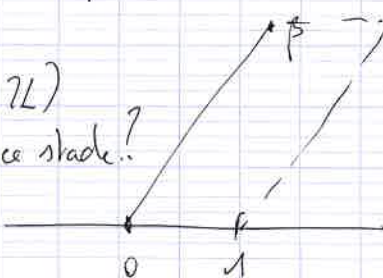
$$\phi_{\mu^{-1}} \circ f(a) \circ \phi_\mu(z) = \dots \Rightarrow z \mapsto z + 1.$$

$$f(b) = z + \beta. \quad \text{Conjuguons par } z \mapsto \bar{z} \quad z + \bar{\beta}$$

$$\Rightarrow \beta \in \mathbb{R}.$$

Pourquoi l'action de $SL(2, \mathbb{Z})$?

N'est-elle pas considérée à ce stade?



Structure plate sur le tore pour chaque β .

II/ Compactification de $\mathcal{T}(S)$ par Thurston.

Définitions: $\mathcal{D} = \{ \text{cambes fermés simples sur } S^3 \}$.

Fonction longueur: $\ell: \mathcal{D} \rightarrow \mathbb{R}_+$.

$$r \mapsto \inf \{ d \in [r] \mid \ell_g(d) \}.$$

Fonction intersection: $\Delta \times \mathcal{D} \rightarrow \mathbb{R}_+$.

$$(r, d) \mapsto \inf_{\substack{\alpha \in \mathcal{D} \\ \beta \in \mathcal{D}}} \ell_{\alpha \cup \beta}(r).$$

Lemme: l'inf est réalisé par les géodésiques.

(p_m, q_m)

Ingédients de la preuve:

$$\mathcal{L}: \mathcal{T}(S) \rightarrow \mathbb{R}^3$$

\mathcal{L} réalise un homéo.

$$g \mapsto \mathcal{D} \rightarrow \mathbb{R}_+$$

$$r \mapsto \ell_g(r).$$

sur $(\mathbb{R}^+)^3$ on met la topologie faible.

$$i(a, s_m) = p_m.$$

$$f_m \in \mathcal{C}$$

$$i(b, s_m) = q_m.$$

$$f_m \rightarrow f$$

$$\exists \lambda_m \cdot t \cdot g$$

$$i(a+b, s_m) = p_m + q_m.$$

$$\lambda_m f_m(r) \rightarrow f(r).$$

$$p_m \rightarrow d.$$

Projectiviser, c'est normaliser le volume.

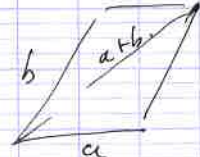
$$s_m = (p_m, q_m)$$

$a, b, a+b$ déterminent Leichmüller.

$$(p_m, q_m) \rightarrow d$$

$$\mathcal{T}(S) \rightarrow (\mathbb{R}_+^3)^3$$

$$g \mapsto \left(\frac{\ell_g(a)}{\ell_1}, \frac{\ell_g(b)}{\ell_2}, \frac{\ell_g(a+b)}{\ell_3} \right)$$



$$\{ \ell_1 + \ell_2 > \ell_3 \}$$

$$\lambda_m = \frac{1}{q_m} \quad \lambda_m s_m \rightarrow (1, 1, 1-d) \quad \text{dans le bad.} \quad \ell_2 = \ell_1 + \ell_3. \quad \text{est obtenu comme la limite.}$$

On prend λ_m .

$$\lambda_a: r \mapsto i(a, r).$$



$$\text{Dans } \mathbb{R}_+^3 \rightarrow \mathcal{T}(\mathbb{T}_2)$$

$$i: \mathcal{D} \rightarrow \mathcal{T}(\mathbb{T}_2)$$

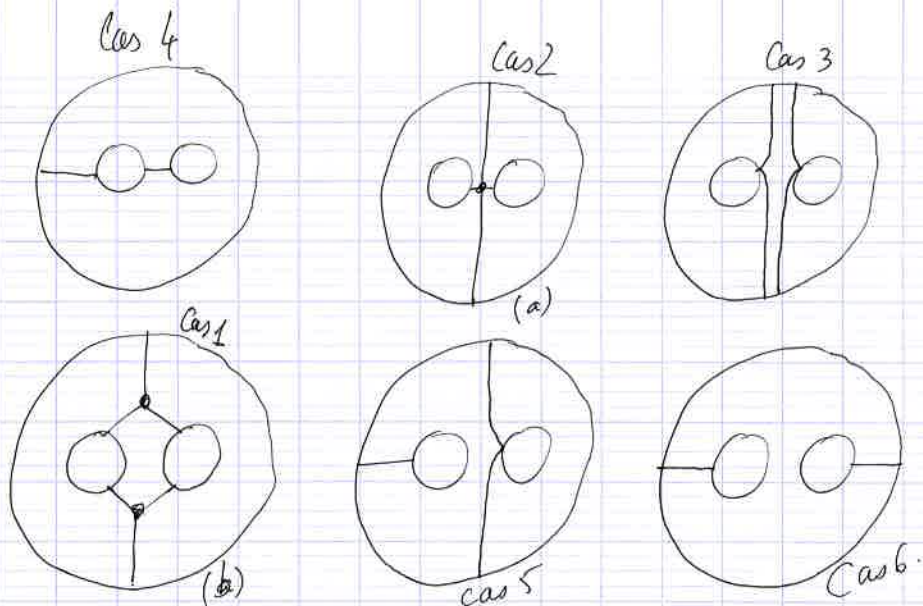
$$i_a(a) = 0$$

$$i_a(a+b) = i_a(b) = 1.$$

et

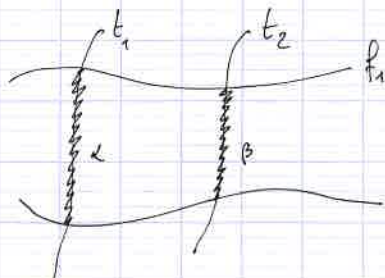
$P(\mathcal{T}(\mathbb{T}_2)) \sqcup i(\mathcal{D})$ est compact.

Feuilletages mesurés sur les surfaces.



M une surface (orientable) et \mathcal{F} un feuilletage.

\mathcal{F} est mesuré si \mathcal{F} le même sur les chemins transverses à \mathcal{F} . I.e. la définition est cohérente.



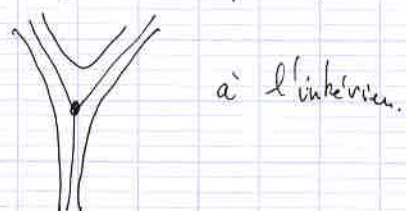
$$\mu(\alpha) = \mu(\beta) \text{ pour rendre la chose cohérente.}$$

On peut s'autoriser quelques singularités, de nature particulière.

On a envie de se limiter à μ régulière / Lebesgue.

Pour tout point, il existe une carte (x, y) et $\mu = dy$.

Les pts singuliers :

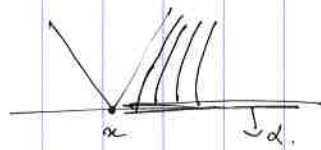


au bord



réglier

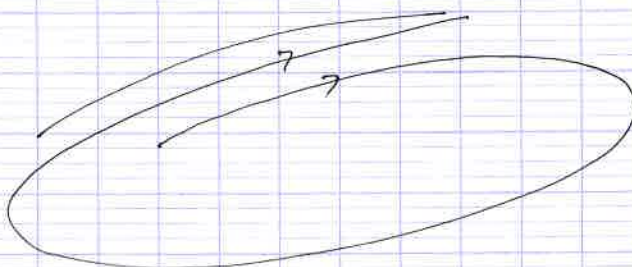




Thm (Réurrence de Poincaré).

Soit d un arc du bord transverse à \mathcal{F}_e . La feuille L_x va sortir ou un point singulier, soit sur un pt du bord.

En gros, l'idée est que pour un feutrage mesuré on ne peut pas avoir de situation comme ceci :



parce que ça
contradict l'invariance.

Corollaire: Si une feuille L n'est pas fermée dans $M \setminus Sing(\mathcal{F}_e)$ et d est un arc transverse à \mathcal{F}_e coupant L , alors $d \cap L$ est infini.

Formule d'Euler-Poincaré

$$\chi(S) = \sum_{\text{faces}} (2 - p_f)$$

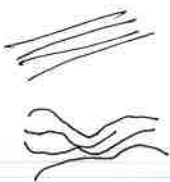
On prend un revêtement double pour avoir une orientation sur les feuilles \Rightarrow un chp de revêtement \Rightarrow la formule des indices

Proposition: Si n'existe pas de désigne α à bord anguleux $\partial D = \alpha \cup \beta$. α un bord de feuille.
 β arc quasi transverse

On identifie certains des feutages.

- 1°) Par isotopie.
- 2°) Par les opérations de Whitehead.

$M \setminus \mathcal{F}_e(S)$ comme l'ens. des feutages mesurés quotienté par :



- 1°) les isotopies.
- 2°) les op. de Whitehead.



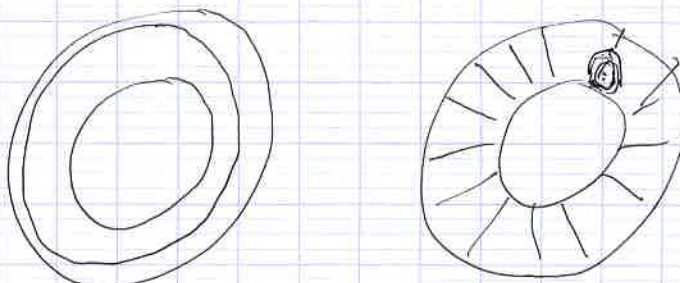
$M\mathcal{F}(S)$ est censé être le bord de l'écoulement.

$$\begin{aligned} I_*: M\mathcal{F} &\rightarrow R^+ \\ \gamma \in \Gamma &\mapsto \int_S \mathcal{F} \end{aligned}$$

Classification des feuilletages:

Rq: On peut associer un feuilletage associé à chaque courbe.

Classification:



Exm

$$\begin{array}{c} \textcircled{O} \textcircled{O} = \rho^2 \\ -2 = \sum (2 - \beta_s) \\ = 2 - 2g - b. \end{array}$$

Soit une singularité avec 4 séparatrices. (a)

$$-2 = \sum (2 - \beta_s)$$

Soit il y en a 2 avec 3 séparatrices (b).

On introduit la notion de bon feuilletage.

Def: Un feuilletage est un bon feuilletage si les composantes du bord ne sont pas des feuilles entières sans singularité.

Thm

- 1°) Toute feuille d'un feuilletage du pentalan est fermée dans le complémentaire des singularités.
- 2°) Si le feuilletage est bon, il n'existe pas de cycle de feuilles à l'intérieur du pentalan.

- Corollaire: 3 cas pour les feuilles :
- par les bords
- 1°) soit elles vont du bord à un bord.
 - 2°) soit elles vont du bord à une singularité
 - 3°) soit d'une singularité à une singularité.
- 1°) Soit L une feuille munie formée de \mathbb{P} dans P^* muni.

On a :

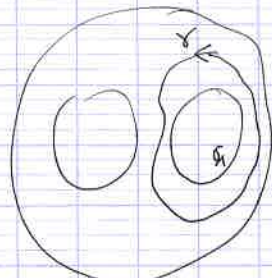


au bord



On approche $\alpha \cup \beta$ par γ transverse à P .

γ doit être forcément autour d'une jambe du pantalon.

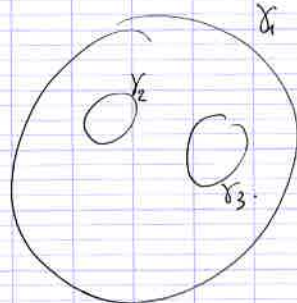
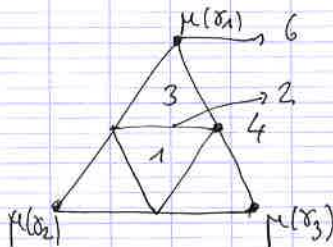


γ_1 / γ et γ_1 boudent un anneau.

donc la feuille L intersecte γ une fois et de fois. donc γ_1 aussi !

Ainsi, on obtient des coordonnées sur l'espace des feuilletages.

Thm: L'application $m: \text{Fe}(P^*) \rightarrow \mathbb{R}^3$, qui à un bon feuilletage associe le triplet $(m_1, m_2, m_3) = (\mu(\gamma_1), \mu(\gamma_2), \mu(\gamma_3))$



Avec les feuilletages qui me suit pas bons ?

Il paraît que c'est à peu près la même chose.

Suite dans 2 semaines -

